

УДК 551

ОПРЕДЕЛЕНИЕ ВРЕМЕНИ ОБРАЗОВАНИЯ ВАЛЬКУМЕЙСКОЙ ПРИБРЕЖНО-МОРСКОЙ РОССЫПИ (ВОСТОЧНО-СИБИРСКОЕ МОРЕ)

© 2004 г. А. В. Лаломов, С. Э. Таболич*

Научно-исследовательская лаборатория фирмы "АРКТУР"
109125 Москва, Волгоградский проспект, 69; E-mail: a_lalomov@mtu-net.ru

*ООО "ПФК ЮНИВЕРС"

117292 Москва, ул. Ивана Бабушкина, 23 корп. 2;
E-mail: tabolich@mail.ru

Поступила в редакцию 27.10.2003 г.

Данное исследование является попыткой определения реального времени формирования прибрежно-морских россыпей, основанной на моделировании процессов россыпнеобразования, современных скоростях литодинамических процессов и современных параметрах россыпнеобразующих источников. Полученный результат показывает, что реальное время образования исследованной Валькумейской россыпи олова (Чаунская губа Восточно-Сибирского моря) значительно отличается от ее стратиграфического возраста. Анализируются возможные причины такого несоответствия.

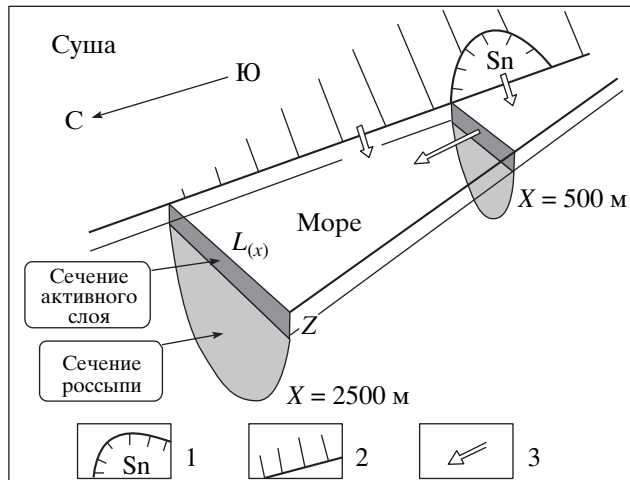
В течение периода 1982–1991 гг., работая в Чаунской экспедиции ПГО "Севвостгеология", авторы изучали геохимические особенности и литологический состав аллювиальных и прибрежно-морских россыпей Центральной Чукотки. Занимаясь моделированием процессов осадкообразования с целью локального прогнозирования параметров россыпей, в то время авторы не исследовали проблему интенсивности геологических процессов, поскольку эти вопросы не входили в сферу производственной геологии. Попытка определения времени образования Валькумейской прибрежно-морской россыпи олова с использованием в расчетах современных скоростей седиментационных процессов и содержаний полезного компонента в коренных источниках показала, что время, необходимое для формирования россыпи, значительно меньше ее стратиграфического возраста. Поскольку в основных чертах существующие в настоящее время литодинамические условия формирования россыпи заложились в плиоцене, имеющиеся данные позволили сравнить реальное и геохронологическое время россыпнеобразования.

Геологическая структура, геоморфология, гидро- и литодинамика, а также строение осадочно-чехла Валькумейской россыпи олова подробно рассмотрены в ряде предыдущих исследований [Патык-Кара, Иванова, 2003; Лаломов, 2003б]. В данной работе приводятся лишь краткие сведения, непосредственно необходимые для расчета времени россыпнеобразования.

ГЕОЛОГИЧЕСКОЕ СТРОЕНИЕ И ЛИТОДИНАМИКА УЧАСТКА ВАЛЬКУМЕЙСКИЙ

Валькумейская прибрежно-морская россыпь олова расположена на границе зоны устойчивых отрицательных неотектонических движений – Чаунской впадины и блокового поднятия Валькумейского гранитоидного массива. Считается, что заложение впадины и начало дифференцированных тектонических движений произошли в миоцене [Патык-Кара и др., 1980]. Источником материала россыпи являются зоны жильного оруденения и участки рассеянной минерализации кассiterит-силикатной рудной формации, приуроченные к Валькумейскому массиву. Выходы коренных источников олова наблюдаются как непосредственно в абрадируемом клиффе, так и на примыкающей к береговой зоне территории [Лугов, 1965]. Оловоносными являются также поступающие в зону пляжа делювиально-пролювиальные образования. Непосредственным источником олова для современной прибрежно-морской россыпи является зона, примыкающая к пляжу в начале устойчивого вдольберегового потока наносов (ВПН) к северу от мыса Валькумей.

На исследованном участке акватории Чаунской губы ВПН направлен на север и начинается от крайней точки мыса Валькумей. В пределах основной части россыпи около мыса поток ненасыщен наносами, береговой клифф активно размывается (зона абразии). Далее на север берег становится более устойчивым (зона транзита наносов). В северной части россыпи происходит насыщение потока, наблюдается нарастание пляжа



Блок-диаграмма, иллюстрирующая методику расчета реального времени образования россыпи.

Z – толщина слоя активного перемещения осадков под действием волн и течений; $L_{(x)}$ – ширина активной зоны в сечении X ; X – расстояние от начала вдольберегового потока наносов.

1 – источник россыпьобразующего компонента; 2 – зона абразии; 3 – направление переноса обломочного материала.

и отложение наносов (зона аккумуляции). Зона активного перемещения наносов, сложенная галечниками, песками и алевритами, расширяется от 100–200 м в зоне абразии до 600 м в зоне аккумуляции. За пределами активной зоны донные осадки сложены черными, насыщенными органикой алевропелитовыми илами.

Определенные выводы о литодинамических условиях, существовавших на акватории Чаунской губы в прошлом, были сделаны на основании изучения геоморфологии побережья и данных бурения. Наличие в северной части россыпи аккумулятивной косы длиною около 4 км говорит о стабильности ВПН на протяжении длительного времени. Галечные отложения косы прослеживаются буровыми скважинами вплоть до верхней границы плиоценовых отложений, что говорит о заложении устойчивого однонаправленного ВПН на акватории Чаунской губы, как минимум, уже с начала плейстоцена. Крупность галечного материала и другие литологические особенности мало меняются в разрезе всей плейстоцен-голоценовой толщи, на основании чего можно сделать вывод о том, что как общая (качественная) картина, так и интенсивность литодинамических процессов в основном не менялись в течение всего периода формирования четвертичной и современной прибрежно-морской россыпи. Результаты геохимического исследования Валькумейской россыпи также “свидетельствуют об унаследованности литодинамической обстановки на протяжении формирования россыпи” [Патык-

Кара, Иванова, 2003, с. 273]. Исключение составляет период верхнеплейстоценовой регрессии, когда на данной территории наблюдалось образование едомного комплекса.

На участке однонаправленного ВПН оловоносный шлейф протягивается от коренного источника в направлении господствующего здесь потока наносов. При этом происходит расширение поля оловоносных осадков в соответствии с параметрами гидродинамически активной зоны, внешняя мористая граница которой совпадает с границей распространения алевритовых илов.

В строении россыпи олова в районе мыса Валькумей выделяются два основных структурно-генетических яруса. Нижняя, более древняя часть россыпи связана в основном с делювиально-пролювиальными и аллювиальными миоценовыми отложениями. Второй (верхний) ярус представлен преимущественно прибрежно-морскими отложениями плиоцен-голоценового возраста. Для увеличения достоверности расчет времени образования был сделан только для собственно прибрежно-морской россыпи верхнего яруса, поскольку для россыпи нижнего яруса применение количественных современных данных по литодинамике и параметрам коренных источников является менее обоснованным.

ОПРЕДЕЛЕНИЕ ВРЕМЕНИ ОБРАЗОВАНИЯ РОССЫПИ

Время, необходимое для образования прибрежно-морской части Валькумейской россыпи, было оценено с использованием упрощенной модели осадконакопления, принимающей допущение о приблизительном сходстве современных геологических условий и условий, существовавших в прошлом на всем возрастном интервале времени формирования прибрежно-морской россыпи, начиная с плиоцена.

“Ниже” по вдольбереговому потоку от источника поступление россыпьобразующего компонента происходило за счет ВПН через сечение активного слоя осадков $L_{(x)} \cdot Z$ (рисунок) с постоянной интенсивностью, соответствующей сегодняшней, где L – ширина активной зоны перемещения осадков в ВПН; Z – мощность активного слоя, которая по разным оценкам не превышает 1–1.5 м; X – расстояние от начала ВПН. Чтобы вычислить время, прошедшее от начала процесса формирования россыпи, необходимо оценить:

1. Количество олова $q_{(x)}$ (т/год), проходящего в активном слое россыпи через произвольное сечение X :

$$q_{(x)} = L_{(x)} \cdot Z \cdot C_{(x)cp} \cdot V_{(x)} = V_{(x)} \cdot C_{(x)cp}, \quad (1)$$

где $C_{(x)cp}$ (т/м³) – среднее содержание олова в активном слое осадков в поперечном сечении ВПН $L_{(x)} \cdot Z \cdot 1$ м в точке X ;

$V_{(x)}$ (м/год) – средняя в данном сечении скорость потока наносов;

$V_{(x)}$ (м³/год) – объем обломочного оловосодержащего материала, проходящего через поперечное сечение ВПН в точке X .

2. Полное количество олова в россыпи, поступившего “вниз” по вдольбереговому потоку от исследуемого сечения, равное $Q_{(x)}$ (тонн).

Зная величины этих параметров, время $T_{(x)}$, прошедшее с момента начала формирования участка россыпи, расположенного “ниже” по потоку наносов от сечения X , можно вычислить по формуле:

$$T_{(x)} = Q_{(x)} / q_{(x)}. \quad (2)$$

Для определения величины $q_{(x)}$ произведем оценку некоторых динамических характеристик ВПН, режима и объемов поступления в ВПН обломочного материала и олова.

Для Валькумейской россыпи объем обломочного материала, поступающего в ВПН за год, был рассчитан несколькими способами:

1. По полевым исследованиям, согласно которым объем абрадируемых склоновых отложений оценивается в 3 тыс. м³. Весь этот материал ежегодно поступает во вдольбереговой перенос.

2. Тот же самый объем может быть рассчитан косвенным способом. Площадь денудируемой поверхности, поставляющей обломочный материал на исследуемый участок, равна 3 млн. м². Средняя интенсивность денудации в данных условиях оценивается приблизительно в 1 мм в год [Шумилов, 1980], так что объем материала, поступающего в ВПН, можно оценить в 3 тыс. м³.

3. Наблюдения за переносом галечного материала показали, что в периоды волнений северных румбов (направления волнения с юга на север) объем перемещающегося в зоне пляжа грубообломочного материала через поперечное сечение активной зоны на участке транзита наносов может достигать 150 м³/сут [Паломов, 1986]. С учетом материала, перемещающегося в пределах подводного берегового склона, эта величина может быть удвоена: берег в районе россыпи характеризуется как приглубый, забурунивания в районе подводных валов, как правило, не происходит, и основное выделение волновой энергии (а значит, и перенос материала) осуществляется в зоне пляжа. В силу этого, удвоение общей мощности потока по отношению к пляжу представляется нам вполне надежной (с запасом) оценкой. Учитывая, что преобладание южных ветров (и, соответственно, волнений) над северными за навигационный период составляет 7–10 дней, объем ВПН можно оценить приблизительно в 2–3 тыс. м³/год. По-

скольку при поступлении в ВПН глинистая составляющая рыхлых склоновых отложений, достигающая 30–40%, практически сразу же переходит во взвесь и покидает зону ВПН, то объем поступающего в прибрежную зону материала также может быть оценен в 3–5 тыс. м³/год.

Оценка примерно этого же порядка (около 4,3 тыс. м³/год) получается при использовании данных В.А. Кошелевой и Д.С. Яншина [1999] по абразии берегов, сложенных коренными породами в пределах Восточно-Сибирского моря.

Для целей настоящей работы объем материала, поступающего в ВПН суммарно на всем абрадируемом участке, принят 3 тыс. м³/год. Этот материал поступает не сразу в районе начала россыпи, а постепенно, на протяжении всей зоны абразии, которая протягивается от начала ВПН – от точки $X = 0$ до профиля в точке $X_A = 2500$ м (приблизительно). Далее по потоку абразия сменяется транзитом и аккумуляцией, т.е. материал в ВПН уже не поступает [Паломов, 1986]. При этом интенсивность абразии (и, соответственно, скорости поступления материала в поток со склона $U_{(x)}$) монотонно убывает от максимального значения в точке $X = 0$ до 0 в точке $X_A = 2500$ м.

Суммарное количество обломочного материала $\text{Sum}U_{(x)}$, поступившего в ВПН на абрадируемом участке “выше” по вдольбереговому потоку от произвольной точки X , является интегральной функцией $U_{(x)}$:

$$\text{Sum}U_{(x)} = \int_{x=0}^{x_a} U_{(x)} dx. \quad (3)$$

В первом приближении можно было бы обойтись линейной аппроксимацией $\text{Sum}U_{(x)}$, но для более точного расчета примем, что скорость $U_{(x)}$ максимальна в зоне интенсивной абразии в начале потока и уменьшается по мере насыщения потока наносами. Соответственно, величина $V_{(x)}$ (объем обломочного материала, проходящего через поперечное сечение ВПН в точке на расстоянии X от начала ВПН) интенсивно нарастает в начале и постепенно в зоне насыщения потока, причем в точке $X = 0$ значение $U_{(x)}$ максимально, $\text{Sum}U_{(x)} = 0$ и, следовательно, $V_{(x)} = 0$; в точке $X_A = 2500$ м $U_{(x)} = 0$, $\text{Sum}U_{(x)}$ максимально, $V_{(x)}$ пропорционально всему объему обломочного материала, поступившему на участке абразии “выше” по вдольбереговому потоку от точки X , с коэффициентом k , учитывающим вынос тонких глинистых фракций из зоны россыпи:

$$V_{(Xa)} = k \int_{x=0}^{X_a} U_{(Xa)} dx = k \text{Sum}U_{(Xa)}. \quad (4)$$

При этом считаем, что вынос тонких фракций происходит практически одновременно с поступ-

Расчет времени образования россыпи

| X (м) | $V_{(x)}$ ($\text{м}^3/\text{год}$) | $Q_{(x)}$ (тонн) | $C_{(x)\text{ср}}$ ($\text{г}/\text{м}^3$) | | $T_{(x)}$ (лет) | |
|---------|---------------------------------------|------------------|--|------------------------|-----------------|------------------------|
| | | | измеренное | рассчитанное по модели | измеренное | рассчитанное по модели |
| 500 | 648 | 7000 | 5066 | 2854 | 2132 | 3785 |
| 2500 | 1800 | 2400 | 455 | 427 | 2930 | 3123 |

Примечание. Анализ относительной погрешности сделанного расчета показывает, что вследствие некоторой неопределенности вводимых в расчет данных, суммарная относительная погрешность может достигать 80–100%. Это говорит о том, что приведенные в таблице значения $T_{(x)}$ с точностью до года являются **средними** значениями с большой относительной погрешностью. Достоверно можно говорить лишь о **порядке** полученной величины.

лением материала в ВПН и непосредственно в точке поступления; k считаем постоянным на всем абрадируемом участке. Исходя из того, что вынос тонких глинистых фракций из зоны россыпи составляет приблизительно 40% поступающего обломочного материала, k принимаем равным 0.6.

Аппроксимируем $\text{Sum}U_{(x)}$ квадратичной функцией. Применительно к данному случаю уравнение принимает вид:

$$\text{Sum}U_{(x)} = \text{Sum}U_{(X_a)} - K(X_a - X)^2. \quad (5)$$

где K – постоянный коэффициент, зависящий от динамики ВПН и интенсивности эрозии (абразии) склонов. При этом $\text{Sum}U_{(X_a)} = 3$ тыс. $\text{м}^3/\text{год}$, $X_a = 2500$ м.

Величину K рассчитываем в точке $X = 0$, $\text{Sum}U_{(0)} = 0$

$$K = 4.8 \times 10^{-4} (\text{м}/\text{год})$$

$$\text{Sum}U_{(x)} = 3000 \text{ м}^3/\text{год} - 4.8 \times 10^{-4}(2500 \text{ м} - X)^2 \quad (6)$$

$$\begin{aligned} V_{(x)} &= k \text{Sum}U_{(x)} = \\ &= 0.6(3000 - 4.8 \times 10^{-4}(2500 \text{ м} - X)^2). \end{aligned} \quad (7)$$

Другую необходимую для расчета $q_{(x)}$ величину $C_{(x)\text{ср}}$ можно получить как по фактическим данным опробования донных отложений на полную мощность активного слоя наносов, так и по данным математического моделирования содержания олова при переносе в ВПН. Первоначально пригодная для этой цели математическая модель была разработана для локального прогнозирования параметров россыпи в геологоразведочных целях. Впоследствии, когда была доказана адекватность модели реальному геологическому объекту [Лаломов, Таболич, 1994], она была также использована для расчета времени образования россыпи.

Таким образом, используя известные по данным геологической разведки значения $Q_{(x)}$ и рассчитанные значения $q_{(x)}$, можно определить реальное время образования $T_{(x)}$ части россыпи, расположенной “ниже” по вдольбереговому потоку от любого исследованного сечения.

В настоящей статье приведено время образования россыпи, рассчитанное для двух узловых точек: в “нижней” по потоку точке поступления оловоносного материала ($X = 500$ м) и в зоне насыщения ВПН (зона смены режима абразии на режим транзита наносов, $X = 2500$ м).

Необходимо отметить, что определение возраста с использованием величины $C_{(x)\text{ср}}$, рассчитанной с применением упомянутой математической модели, имеет более высокую степень надежности, так как данная методика расчета позволяет устранить ошибки, вызванные:

1) дискретностью опробования донных отложений;

2) погрешностью определения содержания олова, связанной с небольшим объемом образцов при неоднородности распределения олова в донных отложениях;

3) лабораторной (аналитической) погрешностью.

Таким образом, определение времени образования россыпи по данным моделирования является наиболее предпочтительным, поскольку позволяет устранить ошибки, вызываемые использованием непосредственных фактических данных.

Результаты расчета времени образования россыпи $T_{(x)}$ по фактическим данным и данным моделирования представлены в таблице.

По результатам проведенных исследований можно утверждать с большой степенью уверенности, что реальное время образования Валькумской прибрежно-морской россыпи оценивается приблизительно в 2–4 тыс. лет, что составляет примерно 0.04–0.07% от стратиграфического возраста нижних горизонтов россыпевмещающих отложений плиоцена, равного 5.3 млн. лет, согласно общепринятой геохронологической шкале.

ОБСУЖДЕНИЕ РЕЗУЛЬТАТОВ

Один из возможных спорных моментов в определении реального возраста по уравнению (2) связан с тем, что данный способ дает нам не точный возраст отложений, а только время, необходимое

для формирования россыпи при сегодняшних скоростях геологических процессов. Теоретически можно допустить, что за вычетом короткого и интенсивного периода россыпебообразования, все оставшееся время россыпь находилась в состоянии стагнации, то есть отсутствовали любые процессы приноса и выноса компонентов. Однако детальное изучение геологического разреза показало отсутствие фактических данных, указывающих на правомерность такого предположения. Осадконакопление в арктическом регионе с начала плиоценена существенно не отличалось от современного за исключением периода четвертичного оледенения, которое происходило по геологическим меркам совсем недавно и продолжалось относительно недолго: общая продолжительность четвертичных оледенений охватывает период с 600 до 20 тыс. лет [Геологический ..., 1960]. С этим периодом связана единственная граница локального размыва в разрезе плиоцен-четвертичной россыпи [Патык-Кара, Иванова, 2003, рис. 71]. Как данные конкретного литологического разреза россыпи, так и данные глобального изучения изменения седиментационных процессов в прошлом указывают на то, что интенсивность этих процессов мало менялась со временем [Романовский, 1988]. Литодинамический режим берегов во времени при сохранении общего контура моря, как правило, меняется незначительно и почти не зависит от климатических факторов [Зенкович, 1962], что подтверждается непосредственными исследованиями строения Валькумейской россыпи [Патык-Кара, Иванова, 2003].

Вторым важным источником расхождения рассчитанного и стратиграфического возраста является возможность выноса кассiterита из зоны россыпи. В результате величина $Q_{(x)}$ значительно занижается, что приводит к пропорциональному уменьшению $T_{(x)}$. В то же время о несущественном влиянии этого процесса на определение времени образования россыпи свидетельствует то, что в целом контур современной россыпи на уровне, превышающем значения локального фона, совпадает с границей зоны активной литодинамики наносов (т.е. границей между алевритами и насыщенными органикой черными алевропелитовыми илами). Детальными геологоразведочными работами фланги россыпи (как мористый, так и расположенный по направлению ВПН) были уверенно оконтурены. Валовый анализ проб по рудной схеме (без предварительной промывки и выделения гравитационно обогатимой фракции) с использованием химического анализа позволил определить полное содержание олова в отложениях независимо от класса крупности кассiterита. Это опробование показало, что суммарное количество олова за пределами литодинамически активной зоны в пределах илов не превышает 2% от общих его запасов в россыпи.

Таким образом, имеющиеся данные свидетельствуют о достаточно полном осаждении всех фракций кассiterита в пределах указанного контура. К тому же, в силу пониженной гидродинамической активности в акватории Чаунской губы, весь материал, поступающий в ее пределы (и, в первую очередь, тяжелые фракции отложений) осаждается в непосредственной близости от источника поступления.

Также маловероятно значительное изменение параметров коренного источника кассiterита, участвующего в образовании россыпи. По сравнению с общим вертикальным диапазоном оруденения (более 200 м) уровень эрозионного среза рудных зон Валькумейского массива, участвовавших в образовании исследуемой (прибрежно-морской) части россыпи, не превышает 10%. Следовательно, мы вправе предположить, что параметры выходящих на дневную поверхность коренных источников кассiterита за время формирования участующей в подсчете возраста части россыпи изменились незначительно, и эта величина несущественно влияет на результаты расчета.

Из-за ряда введенных допущений точность определения продолжительности образования россыпи может оспариваться. Сама точность подсчета запасов, по которым определяется время образования россыпи, не превышает 20–30% [Методическое ..., 1982], что соответственно определяет и точность датирования. Принятые допущения могли повлиять на конечный результат, но существенно то, что в любом случае полученная продолжительность формирования россыпи на несколько порядков отличается от общепринятого возраста геологических границ кайнозоя.

ЗАКЛЮЧЕНИЕ

Таким образом, маловероятно, что расхождение реального времени образования и стратиграфического возраста Валькумейской россыпи является результатом неправомерности прямой экстраполяции современных данных в прошлое или чрезмерного упрощения модели [Лаломов, 2003а].

Различие понятий “скорость седиментации” и “скорость накопления осадков” обсуждается в настоящее время в геологической литературе достаточно широко [Байков, Седлецкий, 2001]. Как правило, это различие связано с инъективным седиментогенезом, когда короткие периоды реального осадконакопления чередуются с длительными периодами отсутствия седиментации. Подобные условия седиментации, наиболее характерные для процессов образования турбидитов, встречаются и в прибрежных частях бассейнов: так, в области шельфа, примыкающего к устью р. Янцзы, скорости седиментации и аккумуляции различа-

ются в 10 раз [Романовский, 1988], то есть время скрытых перерывов накопления осадков в 10 раз превышает время реальной седиментации. Как указывал С.В. Мейен [1989, с. 24], “Из-за широкого развития скрытых перерывов... в условиях мелководья нередко документируется лишь ничтожная доля общего времени седиментации (0.01–0.001%)”.

В статье Л.Л. Кулямина и Л.С. Смирнова [1973] на основании анализа приливно-отливных циклов указывается, что для кембро-ордовикских песчаников Прибалтики “чистое” время седиментации оценивается приблизительно в 170 палеосуток (133 для саблинских песчаников среднего-верхнего кембра и 40 для пакерортских нижнего ордова). “Полученные цифры шокируют”, как пишут сами авторы [Кулямин, Смирнов, 1973, с. 699]. Такие результаты они объясняют ничтожной сохранностью осадков в подобных разрезах по отношению к стратиграфическому объему времени.

Исследование аналогичных отложений Ленинградской области также показало, что “чистое время накопления нижнепалеозойских песков можно оценить в 100–200 лет. Парадокс заключается в том, что геологическое время формирования саблинской толщи составляет 10–20 млн. лет” [Тугарова и др., 2001, с. 89]. Авторы объясняют это многократным перемывом отложений в мелководных морских условиях с активной литодинамикой, где соседствуют и сменяют друг друга в зависимости от параметров штормов и течений процессы аккумуляции и размыва морского дна.

В настоящей работе оценка продолжительности образования Валькумейской россыпи была сделана на основе анализа современной скорости поступления кассiterита в прибрежную зону и общего количества олова в россыпи. Есть все основания полагать, что интенсивность литодинамических процессов и содержание олова в источнике за период формирования прибрежно-морской части россыпи оставались (в первом приближении) постоянными. Также не обнаружено признаков значительного выноса мелких фракций кассiterита из контура россыпи в литодинамически неактивную зону. Для реконструкции конкретных условий и понимания причин отсутствия эрозии примыкающей суши и (или) накопления осадков в пределах Валькумейской россыпи в прошлом требуются дополнительные исследования.

Данная работа поднимает вопросы, ответы на которые предполагается получить в будущем. С этой целью авторы предлагают обсудить на страницах печати возможные причины несоответствия реального и стратиграфического возраста россыпей, в частности Валькумейской, а также влияние этого фактора на процесс россыпнеобразования.

СПИСОК ЛИТЕРАТУРЫ

- Байков А.А., Седлецкий В.И.* О сверхвысоких скоростях терригенной седиментации на континентальном блоке в фанерозое // Проблемы литологии, геохимии и осадочного рудогенеза. М.: Наука, 2001. С. 93–108.
- Геологический словарь. Т. 2. М.: Госгеолтехиздат, 1960. 445 с.
- Зенкович В.П.* Основы учения о развитии морских берегов. М.: Изд-во АН СССР, 1962. 710 с.
- Кошелева В.А., Яншин Д.С.* Донные осадки Арктических морей России. СПб.: ВНИИОкеангеология, 1999. 135 с.
- Кулямин Л.Л., Смирнов Л.С.* Приливно-отливные циклы осадконакопления в кембро-ордовикских песках Прибалтики // Докл. АН СССР. Сер. геол. 1973. Т. 212. № 1–3. С. 696–699.
- Лаломов А.В.* Комплексное изучение участка побережья методом меченых частиц // Колыма. 1986. № 8. С. 31–33.
- Лаломов А.В.* Скорость осадконакопления и актуальное время седиментации // Материалы третьего Всероссийского литологического совещания. М.: Изд-во МГУ, 2003а. С. 111–113.
- Лаломов А.В.* Дифференциация тяжелых минералов во вдольбереговом потоке наносов и моделирование процессов прибрежно-морского россыпнеобразования // Литология и полез. ископаемые. 2003б. № 4. С. 361 – 369.
- Лаломов А.В., Таблич С.Э.* Диффузионно-конвективная модель прибрежно-морского россыпнеобразования при наличии вдольберегового потока наносов // Минерагения Арктики. СПб.: ВНИИОкеангеология, 1994. С. 171–177.
- Лугов С.Ф.* Геологические особенности олововольфрамового оруденения Чукотки и вопросы поисков. Л.: Недра, 1965. 336 с.
- Мейен С. В.* Введение в теорию стратиграфии. М.: Наука, 1989. 212 с.
- Методическое руководство по разведке россыпей золота и олова / Под ред. Цопанова О.Х. Магадан: Севвостгеология, 1982. 218 с.
- Патык-Кара Н.Г., Морозова Л.Н., Бирюков В.Ю., Новиков В.Н.* Новые данные по структурно-геоморфологическому строению приморских равнин и шельфа Восточно-Арктических морей // Геоморфология. 1980. № 3. С. 9 –98.
- Патык-Кара Н.Г., Иванова А.М.* Геохимические поиски месторождений твердых полезных ископаемых на континентальном шельфе. М.: Научный мир, 2003. 415 с.
- Романовский С.И.* Физическая седиментология. Л.: Недра, 1988. 240 с.
- Тугарова М.А., Платонов М.В., Сергеева Э.И.* Литодинамическая характеристика терригенной седиментации кембро-нижнеордовикской толщи Ленинградской области // Историческая геология и эволюционная география, СПб.: Изд-во НОУ Амадеус, 2001. С. 81–91.
- Шумилов Ю.Н.* К вопросу о количественной оценке процессов россыпнеобразования // Проблемы геологии россыпей. Магадан, 1980. С. 125–132.